

## การศึกษาเครื่องยนต์สเตอร์ลิงแบบลูกสูบขนาดทำงานสองด้าน

### Investigations of Double Acting Parallel Cylinder Stirling Engine.

บัญชา คงกระถาง และ ไพรดา นาพลด  
ภาควิชาวิศวกรรมเครื่องกล คณะวิศวกรรมศาสตร์ มหาวิทยาลัยศรีนครินทรวิโรฒ  
องครักษ์ นครนายก 26120  
โทรศัพท์ (662) 02-6641000 Ext. 2055, โทรสาร 037-322609

Bancha Kongtragool and Paisarn Naphon  
Department of Mechanical Engineering, Faculty of Engineering, Srinakharinwirot University  
Ongkharak, Nakhornnayok 26120, Thailand  
Tel: (662) 02-6641000 Ext. 2055, Fax. 037-322609

#### บทคัดย่อ

การวิจัยนี้ได้ศึกษาถึงหลักการออกแบบและทดสอบสมรรถนะของเครื่องยนต์สเตอร์ลิงแบบทำงานสองด้าน (Double acting) ในการทำงานได้มีการออกแบบเครื่องยนต์มีปริมาตร Power piston 600 ลูกบาศก์เซนติเมตรหนึ่งลูก และ Displacer 900 ลูกบาศก์เซนติเมตรสองลูก มีอัตราส่วนปริมาตรระหว่าง Power piston กับ Displacer 1.5:1 ใช้ก๊าซหุงต้มเป็นเชื้อเพลิงในการทดสอบ และน้ำเป็นสารหล่อเย็น ในการทดสอบมีการแปรเปลี่ยนภาระที่ไดนาโมมิเตอร์ แล้ววัดแรงบิดและความเร็วรอบ ผลจากการทดสอบพบว่าเครื่องยนต์ทำงานในสภาวะไม่มีภาระที่ความเร็วรอบสูงสุด 120 รอบ/นาที เมื่อมีภาระพบว่ามีแรงบิดสูงสุด 1.1 นิวตัน.เมตร ที่ความเร็วรอบ 58 รอบ/นาที และกำลังสูงสุด 6.8 วัตต์ ที่ความเร็วรอบ 75 รอบ/นาที

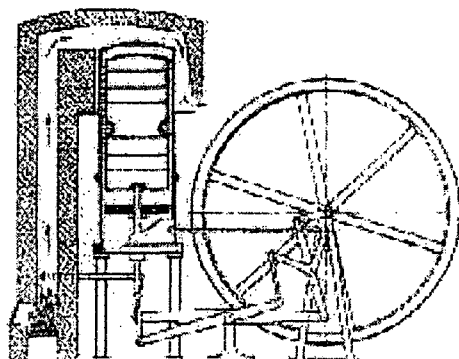
#### Abstract

The designed and testing of double acting stirling engine are investigated. The experimental setup is designed and constructed. The stirling engine has a volume of power piston cylinder, displacer cylinder, and the displacer to power piston volume ratio of 600, 900 cc. and 1.5:1, respectively. The LPG and water are used as fuel and coolant in this study. The torque and speed are measured. The results from the present study show that at the idle condition, the maximum speed of 130 rpm. The maximum torque is 1.0 N.m as speed of 58 rpm. The maximum power is 6.5 watts at revolution speed of 76 rpm.

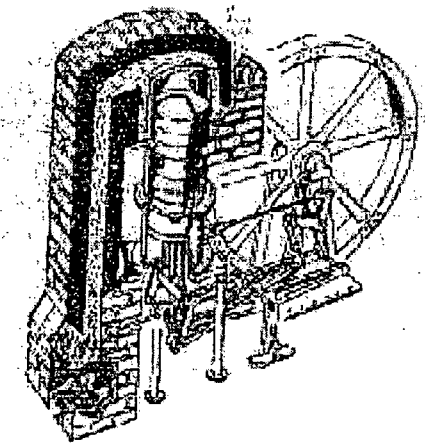
#### บทนำ

เครื่องยนต์สเตอร์ลิงถูกจดสิทธิบัตรในปี ค.ศ.1816 โดย Rev. Robert Stirling ชาว สกอทแลนด์ เครื่องยนต์สเตอร์ลิงในยุคก่อนใช้ถ่านหิน เป็นเชื้อเพลิง ใช้สารทำงานเป็นอากาศความดันต่ำ สร้างขึ้นมาเพื่อแบ่งขันกับเครื่องจักรไอน้ำที่ทำงานด้วยไอน้ำอีกด้วย เพื่อเป็นต้นกำลังช่วยสำหรับอุตสาหกรรมการผลิตและเหมืองแร่

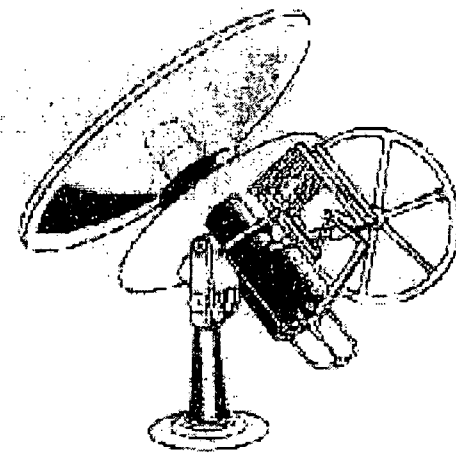
ในปี ค.ศ. 1887 John Ericsson ได้สร้างเครื่องยนต์สเตอร์ลิงขนาดใหญ่สำหรับเรือ โดยลูกสูบมีเส้นผ่าศูนย์กลาง 4.2 เมตร 4 ลูก เครื่องยนต์สเตอร์ลิงถูกพัฒนาไปสู่เทคโนโลยีระดับสูงโดยเริ่มต้นในคริสต์ศตวรรษ 1930 โดย Philips Research Laboratory ใน Eindhoven ประเทศเนเธอร์แลนด์ โดยด้วยเป้าหมายเพื่อการผลิตชุดเครื่องกำเนิดไฟฟ้าที่เงียบขนาดเล็กสำหรับอุปกรณ์อิเล็กทรอนิกส์ที่ใช้หลอดสูญญากาศที่กินกำลังสูง เป้าหมายที่สำคัญของเครื่องยนต์สเตอร์ลิงเปลี่ยนไปสู่การผลิตกำลังไฟฟ้าจากแสงอาทิตย์ (Stine and Diver, 1994) และการใช้ในปั๊มน้ำงานกับรถยนต์ไฟฟ้าแบบไฮบริด



รูปที่ 1 แบบจดสิทธิบัตรดังเดิมของ Rev. Robert Stirling ในค.ศ.1816



รูปที่ 2 เครื่องยนต์สเตอร์ลิงเครื่องแรก ปี ค.ศ. 1818



รูปที่ 3 เครื่องยนต์สเตอร์ลิงพลังแสงอาทิตย์ของ Ericsson

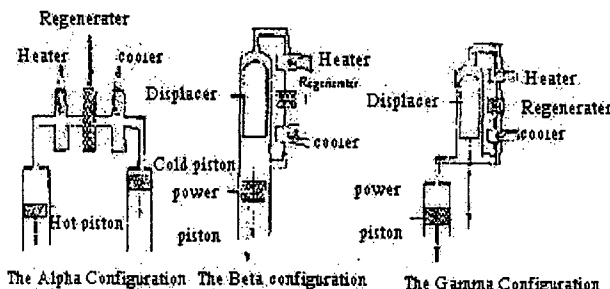
ในทางทฤษฎีแล้ววัฏจักรสเตอร์ลิงสามารถเป็นวัฏจักรที่ทำให้เครื่องยนต์เปลี่ยนพลังงานความร้อนไปเป็นพลังงานกลได้อ่ายมีประสิทธิภาพสูงสุดเมื่อทำงานที่อุณหภูมิสูง ประสิทธิภาพของวัฏจักรสเตอร์ลิงที่มี Regenerator จะเท่ากับประสิทธิภาพของวัฏจักรคาร์โน่ ซึ่งเป็นวัฏจักรที่มีประสิทธิภาพสูงสุดในวัฏจักรทางเชื้อเพลิงไนโตริกส์ทั้งหลาย (West, 1986)

ด้านแบบเครื่องยนต์สเตอร์ลิงประดิษฐ์คิดค้นในอดีตถูกพัฒนาขึ้นมาสำหรับใช้กับรถยนต์ นอกจากนี้ยังมีการออกแบบและทดสอบสำหรับใช้กับรถบรรทุก รถโดยสารและเรือ (Walker, 1973) เครื่องยนต์สเตอร์ลิงถูกนำไปใช้ขับเคลื่อนเรือยอช์ต เรือโดยสารและยานยนต์บนถนน เช่น รถโดยสารในเมือง (Meijer, 1992) เครื่องยนต์สเตอร์ลิงถูกพัฒนาเป็นต้นกำลังสำหรับเรือคำน้า และได้มีการศึกษาความเป็นไปได้ในการใช้เครื่องยนต์สเตอร์ลิงสำหรับ High-power space-borne system โดย NASA (West, 1986) เครื่องยนต์สเตอร์ลิงถูกพิจารณาให้เป็นเครื่องยนต์ในอุดมคติสำหรับการใช้ความร้อนจากแสงอาทิตย์ และการใช้ความร้อนจากแสงอาทิตย์รายแรกที่ถูกบันทึกไว้คือโดย John Ericsson นักประดิษฐ์ชาวอเมริกัน-อังกฤษ ซึ่งย้อนไปถึงปี ค.ศ. 1864 (Rizzo, 1997)

เครื่องยนต์สเตอร์ลิงเป็นเครื่องยนต์สันดาปภายใน ดังนั้นแหล่งความร้อนทุกชนิดสามารถใช้กับเครื่องยนต์ได้ ซึ่งหมายถึงการเผาไหม้ของเชื้อเพลิงทุกชนิด, Radioisotopes, พลังงานแสงอาทิตย์ และ Exothermic chemical reactions เครื่องยนต์สเตอร์ลิงที่มีสมรรถนะสูงจะทำงานที่ขีดจำกัดทางความร้อนของวัสดุที่ใช้สร้าง ซึ่งอยู่ระหว่าง 650 ถึง 800 °C(1200 ถึง 1470 °F) ประสิทธิภาพในการเปลี่ยนรูปพลังงานของเครื่องยนต์อยู่ระหว่าง 30 ถึง 40% โดยความเร็วอบตามปกติอยู่ระหว่าง 2000 ถึง 4000 รอบต่อนาที

ระบบกลไกของวัฏจักรสเตอร์ลิง โครงร่างของ Power piston / Displacer ได้มีการออกแบบจัดทำขึ้นส่วนเครื่องกลด้วยจุลามัยเพื่อให้ได้วัฏจักรสเตอร์ลิง นั่นคือกลไกทำให้ได้การเคลื่อนที่ของก๊าซทำงาน ระหว่างส่วนอุณหภูมิสูงกับส่วนอุณหภูมิต่ำของเครื่องยนต์เป็นแบบปริมาตรคงที่ และการอัดตัวกับการขยายตัวที่อยู่ระหว่างกระบวนการให้ความร้อนและกระบวนการระบายความร้อนเป็นแบบอุณหภูมิคงที่ การอัดและการขยายตัวของวัฏจักรโดยทั่วไปแล้วจะเกิดขึ้นในกระบวนการอุ่น โดยใช้ลูกสูบ การเคลื่อนที่ของก๊าซทำงานไปและกลับ ผ่าน Heater, Regenerator และ Cooler โดยปริมาตรคงที่มักจะเกิดขึ้นโดย Displacer ในแต่ละ Displacer ก็คือ Hollow plug อันหนึ่ง ซึ่งเมื่อเคลื่อนไปสู่ส่วนที่เย็น จะผลักดันให้ก๊าซทำงานเกิดการให้หล่อเย็นย้ายจากแหล่งเย็นไปสู่แหล่งร้อน และในทางตรงกันข้ามก็จะกลับกัน ความแตกต่างความดันเกิดที่ขีดระหว่างแต่ละด้านของ Displacer มีเพียงเล็กน้อยเท่านั้น ดังนั้นปัญหาเกี่ยวกับการกันรั่วจึงมีน้อยและแรงที่ต้องใช้เพื่อกำหนดการเคลื่อนที่ก็น้อยด้วย

โดยทั่วไปมีการออกแบบโครงร่างที่แตกต่างกันอยู่ 3 รูปแบบ เรียกว่าโครงร่างแบบอัลฟ่า, บета และ 伽มมา แต่ละโครงร่างมีคุณลักษณะในการออกแบบทางกลที่แตกต่างกันออกไป แต่มีวัฏจักรทางเชื้อเพลิงไนโตริกส์เหมือนกันทุกประการ โครงร่างอัลฟ่าใช้ลูกสูบสองลูกอยู่คู่ละด้านของ Heater, Regenerator และ Cooler ช่วงแรกลูกสูบหันไปทางด้านที่อยู่กับที่อุ่น ช่วงกลางหันไปทางด้านที่เย็น ช่วงหลังหันไปทางด้านที่เย็น แต่ละช่วงจะเคลื่อนที่อย่างสม่ำเสมอไปในทิศทางเดียวกันเพื่อทำให้เกิดกระบวนการปริมาตรคงที่ เมื่อก๊าซทึ้งหมดถูกขับเข้าไปอยู่ในกระบวนการอุ่นได้กระบวนการอุ่นที่จะอยู่กับที่ ส่วนลูกสูบอีกลูกหนึ่งจะเคลื่อนที่เพื่อที่จะอัดก๊าซ หรือทำให้ก๊าซเกิดการขยายตัว งานที่ใช้ในการอัดตัวจะถูกกระทำโดยลูกสูบด้านเย็น และงานที่ได้จากการขยายตัวจะกระทำการทำกับลูกสูบด้านร้อนโครงร่างอัลฟ่าไม่ใช้ Displacer



รูปที่ 4 โครงร่างกลไกพื้นฐาน 3 แบบ สำหรับเครื่องยนต์สเตอร์ลิง

โครงร่างเบื้องต้นคือการออกแบบที่ให้ Displacer และ Power piston อยู่ภายในระบบอุกสูบนี้ วิวัฒนาการของ Displacer ขึ้นดันกําชากำหนนให้เคลื่อนผ่าน Heater, Regenerator และ Cooler ที่อยู่ระหว่างปลายด้านร้อนกับปลายด้านเย็นของระบบอุกสูน Power piston ซึ่งปักติดอยู่ที่ปลายด้านเย็นของระบบอุกสูน จะอัดกําชากำหนนเมื่อกําชากําหนนในปลายด้านเย็น และทำให้กําชากําหนนเดลีอ่อนที่ไปสู่ปลายด้านร้อน เครื่องยนต์ดังเดิมที่จุดสิทธิบัตรโดยสเตอร์ลิงและเครื่องยนต์อุกสูนอิสระส่วนมากเป็นแบบโครงร่างเบื้องต้น

อนาคตของเครื่องยนต์สเตอร์ลิง ข้อดีที่สำคัญของเครื่องยนต์สเตอร์ลิงคือ การให้ความร้อนเกิดขึ้นภายใต้แรงดันของเรามากกว่าแรงดันของอากาศและอุกสูน ทำให้เครื่องยนต์ชนิดนี้ในอนาคตจะถูกนำไปใช้งานแทนที่เครื่องยนต์สันดาปภายใน ที่ให้กําหนนอย่างมากภายในปั๊มจุ๊บ และเป็นการเตรียมช่องทางเข้าไปสู่การใช้ประโยชน์พลังงานแสงอาทิตย์ซึ่งเป็นแหล่งพลังงานราคากลางๆ สำหรับการใช้งานกับรถยนต์ไฟฟ้าแบบไฮบริด เครื่องยนต์สเตอร์ลิงไม่เพียงแต่มีประสิทธิภาพเท่านั้น แต่เนื่องจากเครื่องยนต์สเตอร์ลิงมีกระบวนการสันดาปเกิดขึ้นอย่างต่อเนื่อง มันจึงสามารถให้พลังได้สะอาดกว่า และไม่มีข้อจำกัดเกี่ยวกับคุณภาพของเชื้อเพลิงหรือชนิดของเชื้อเพลิง เนื่องจากเครื่องยนต์สเตอร์ลิงมีการออกแบบอย่างง่ายๆ จึงเหมาะสมที่จะผลิตขึ้นมาเป็นแหล่งต้นกำลังราคาถูกเพื่อการผลิตไฟฟ้าจากชีวมวล และเชื้อเพลิงอื่นๆ อย่างไรก็ได้ ที่จะหาได้สำหรับประเทศที่กำลังพัฒนา

สิ่งที่สำคัญที่สุดคือเครื่องยนต์สเตอร์ลิงจะนำไปสู่การใช้พลังงานแสงอาทิตย์ซึ่งเป็นแหล่งพลังงานราคากลางๆ เนื่องจากมันสามารถรับพลังงานความร้อนจากดวงอาทิตย์โดยใช้ Concentrating solar collectors เครื่องยนต์สเตอร์ลิงจึงถูกพิจารณาให้เป็นทางเลือกที่แพงน้อยที่สุดสำหรับการผลิตพลังงานไฟฟ้าจากแสงอาทิตย์ ในระดับ 1 kW<sub>e</sub> ถึง 100 kW<sub>e</sub>

### หลักการเรอร์โมไดนามิกส์ของวัฏจักรสเตอร์ลิง

งานของวัฏจักรคือ

$$\begin{aligned} W_{net} &= \int p \, dv \\ w_{3-4} + w_{1-2} &= \int_3^4 p \, dv + \int_1^2 p \, dv \\ &= R T_3 \ln \frac{V_4}{V_3} + R T_1 \ln \frac{V_2}{V_1} \end{aligned}$$

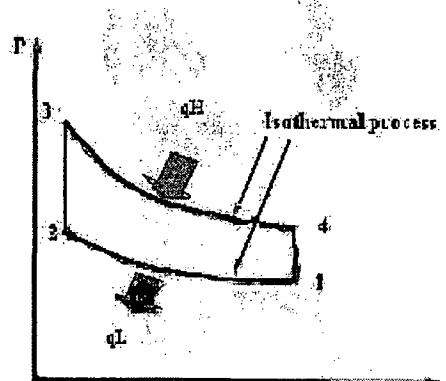
เนื่องจาก  $V_2 = V_3$  และ  $V_1 = V_4$  ดังนั้น

$$W_{net} = R (T_3 - T_1) \ln \frac{V_4}{V_3} = R (T_H - T_C) \ln r_V$$

เมื่อ  $r_V$  คือ อัตราส่วนการอัด  $V_4/V_3$  หรือ  $V_1/V_2$

ความร้อนที่ถ่ายเทให้กับวัฏจักรคือ

$$q_H = T_3 (s_4 - s_3) = R T_3 \ln \frac{V_4}{V_3} = R T_H \ln r_V$$



รูปที่ 5 วัฏจักรสเตอร์ลิง

และประสิทธิภาพของวัฏจักรจะเป็น

$$\eta = \frac{W_{net}}{q_H} = 1 - \frac{T_1}{T_3} = 1 - \frac{T_C}{T_H}$$

ซึ่งเท่ากับประสิทธิภาพคงที่

ความตันเฉลี่ยประสิทธิผลของวัฏจักรสเตอร์ลิงอย่างมาตรฐานจะหาได้จาก

$$W_{net} = p_m (V_4 - V_3) = \eta q_H = \left(1 - \frac{T_1}{T_3}\right) T_3 (s_4 - s_3)$$

เนื่องจากกระบวนการให้ความร้อนเกิดขึ้นโดยอุณหภูมิคงที่ ดังนั้นการเปลี่ยนแปลงอุณหภูมิคือ

$$s_4 - s_3 = R \ln \frac{V_4}{V_3}$$

$$\text{ดังนั้น } W_{net} = p_m (V_4 - V_3) = R (T_3 - T_1) \ln \frac{V_4}{V_3}$$

เนื่องจาก  $T_2 = T_1$  และโดยการใช้กฎของกําชในอุณหภูมิคงที่ จะได้

$$W_{net} = p_m (V_4 - V_3) = (p_3 V_3 - p_2 V_2) \ln \frac{V_4}{V_3}$$

เพราะว่า  $v_3 = v_2$  และจากอัตราส่วนการอัด (และการขยายตัวด้วย)  $r_V = v_4/v_3 = v_1/v_2$  เราจะได้

$$W_{net} = p_m (v_4 - v_3) = (p_3 - p_2) v_3 \ln r_V$$

ดังนั้นความดันเฉลี่ยประสิทธิผลจะมีค่าเป็น

$$p_m = \frac{(p_3 - p_2)}{r_V - 1} \ln r_V$$

ถ้าการเปลี่ยนแปลงความดันที่เกิดขึ้นในกระบวนการ 2-3 ซึ่งเกิดจากมีการถ่ายเทความร้อนใน Regenerator ระหว่างกระบวนการบริโภคคงที่ มีค่าสูงมาก งานสุทธิจะมีค่าตามไปด้วย หากจากนี้ อัตราส่วนปริมาตร  $r_c = 1.5$  บริเวณ Power cylinder  $600 \text{ cm}^3$  บริเวณ Displacer cylinder  $900 \text{ cm}^3$

### เงื่อนไขการออกแบบ

ลักษณะของโครงสร้าง แกมม่า

ลักษณะการทำงานของ Power piston ทำงานสองด้าน

กําชทำงานที่ใช้ กําชหุงต้ม

การระบายความร้อน น้ำ

อัตราส่วนปริมาตร  $r_c = 1.5$

บริเวณ Power cylinder  $600 \text{ cm}^3$

บริเวณ Displacer cylinder  $900 \text{ cm}^3$

### รูปแบบของเครื่องยนต์

รูปแบบโดยรวมของเครื่องยนต์ที่ออกแบบได้แสดงไว้ในรูปที่ 5 เป็นเครื่องยนต์แบบสูบด้วย Power piston แบบทำงานสองด้านขนาด 600 cc จำนวน 1 สูบ และ Displacer ขนาด 900 cc จำนวน 2 สูบ อุปกรณ์ในการให้ความร้อนด้วยกําชหุงต้ม และอุปกรณ์ในการระบายความร้อนด้วยน้ำ

### อุปกรณ์และวิธีการทดสอบ

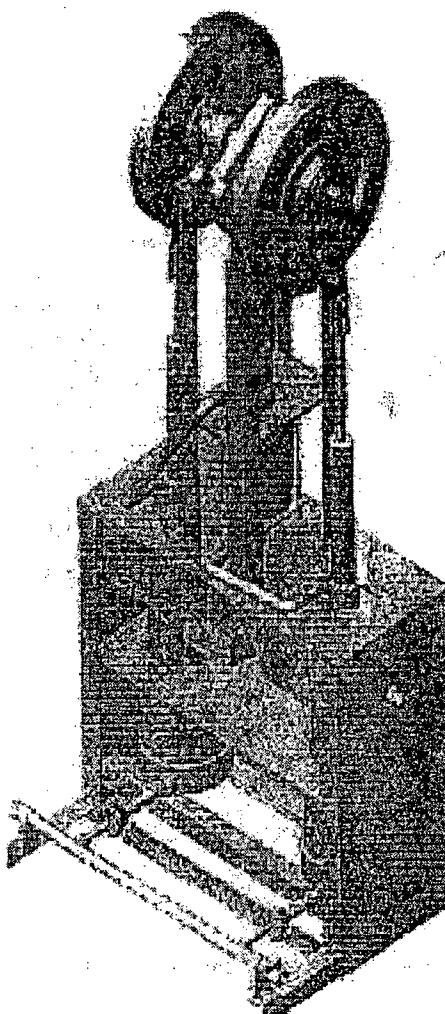
#### อุปกรณ์ที่ใช้ในการทดสอบ

1. เครื่องยนต์สเตเตอร์ลิงที่ออกแบบสร้าง
2. อุปกรณ์ในการระบายความร้อน ซึ่งประกอบด้วย ถังน้ำขนาด 100 ลิตร และเครื่องสูบน้ำเพื่อการไหลเรียนขนาด 90 ลิตรต่อนาที ที่ 2850 รอบต่อนาที
3. อุปกรณ์ในการให้ความร้อนด้วยกําชหุงต้ม ซึ่งประกอบด้วย หัวเตาหุงต้ม ถังกําชหุงต้มยี่ห้อ World gas ขนาด 15 kg ลิ้นปิดเปิดและลิ้นปรับความดัน
4. เครื่องมือวัด ประกอบด้วย ไดนาโนมีเตอร์พร้อมตาชั่งสปริงความละเอียด 10 กรัม เครื่องวัดความเร็วรอบบีท่อ Digicon รุ่น DT-250TP ความละเอียด 0.1 rpm เครื่องวัดอัตราการไหลของน้ำ ความละเอียด  $0.001 \text{ m}^3/\text{h}$  ตาชั่งดิจิตอลยี่ห้อ Ishida รุ่น MT-150 ความละเอียด 0.01 kg นาฬิกาจับเวลา yieh Seiko ความละเอียด 0.01 วินาที เหรอโนมีเตอร์ความละเอียด  $0.5^\circ\text{C}$

วิธีทดสอบ ทำการทดสอบโดยเป็นการให้ความร้อนคงที่ วัดสมรรถนะโดยการปรับเปลี่ยนภาวะที่ไดนาโนมีเตอร์ แล้ววัดความเร็วรอบกับแรงบิด เพื่อนำมาคำนวณหากำลังเพลา

### ผลการวิจัยและวิจารณ์ผล

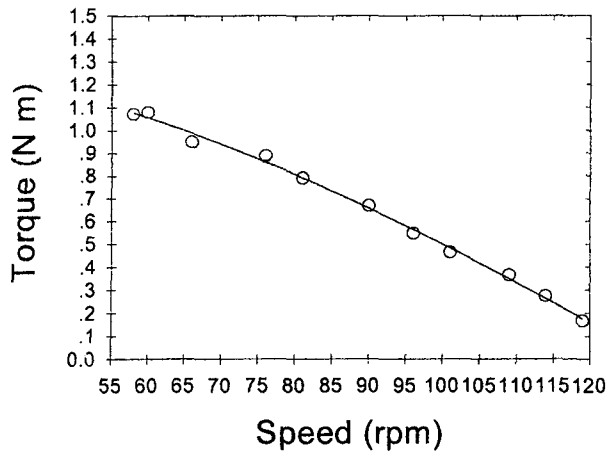
จากการทดสอบพบว่าความเร็วไว้ภาระของเครื่องยนต์อยู่ที่ประมาณ 120 rpm เครื่องยนต์ให้แรงบิดสูงสุดประมาณ 1.1 N.m ที่ 58 rpm ให้กำลังสูงสุดประมาณ 6.8 W ที่ 75 rpm



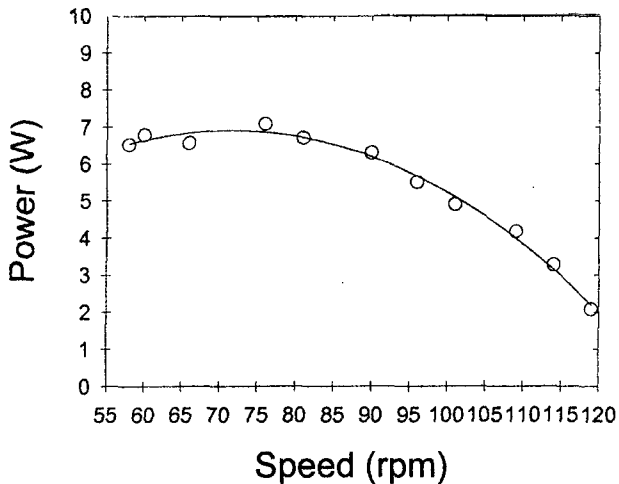
รูปที่ 6 เครื่องยนต์สเตเตอร์ลิงที่ออกแบบ

## สรุป

จากการทดลองที่ได้จะเห็นว่าค่าแรงบิดและกำลังที่ได้นั้นมีค่าไม่สูงมากนัก สาเหตุก็เนื่องมาจากการสูญเสียความร้อนในกระบวนการถ่ายเทความร้อน เช่น การเผาไฟฟ้าไม่สมบูรณ์ของเชื้อเพลิง การสูญเสียความร้อนให้กับน้ำหล่อเย็น และแรงเสียดทานในเครื่องยนต์



รูปที่ 7 แสดงกราฟระหว่างความเร็วอ่อนกับทอร์ค



รูปที่ 8 แสดงกราฟระหว่างความเร็วอ่อนกับกำลัง

## ข้อเสนอแนะสำหรับงานวิจัยในอนาคต

จากการศึกษาในขั้นตอนนี้พบว่า ประสิทธิภาพของเครื่องยนต์นั้นยังต่ำกว่าประสิทธิภาพที่ควรสามารถทำได้ในทางทฤษฎี ดังนั้น สำหรับงานวิจัยในอนาคตควรจะมีการปรับปรุงแก้ไขให้ระบบมีประสิทธิภาพใกล้เคียงกับทางทฤษฎีมากยิ่งขึ้น ซึ่งถ้าสามารถปรับปรุงระบบให้มีประสิทธิภาพสูงแล้ว ก็หมายความว่าในประยุกต์ใช้กับระบบงานจริง เช่น ระบบสูบน้ำในชนบท ซึ่งอาจจะตัดแปลงใช้กับเชื้อเพลิงที่มีอยู่ในท้องถิ่น เช่น แกลบัน ขี้เลือย จนถึงแม้จะหั่นพลังงานแรงอาทิตย์

## เอกสารอ้างอิง

- [1] Howell, J.R. and Buckius, R.O. 1992. *Fundamentals of engineering Thermodynamics*, 2<sup>nd</sup> ed., McGraw-Hill, New York.
- [2] Hargreaves, C. M. 1991 *The Philips Stirling Engine*. Elsevier, Amsterdam.
- [3] Meijer, R.F. 1992. Stirling engine, in *McGraw-Hill Encyclopedia of Science and Technology*, 7<sup>th</sup> ed., pp. 440-445, McGraw-Hill, New York.
- [4] Meijer, R.F. 1997. Stirling engine, in *McGraw-Hill Encyclopedia of Science and Technology*, 8<sup>th</sup> ed., pp. 446-450, McGraw-Hill, New York.
- [5] Rizzo, J.G. 1997. *The Stirling engine manual*, Camden Miniature steam services, Somerset.
- [6] Stine, W.B. 1998. Stirling engines, in *The CRC Handbook of Mech. Eng.* CRC Press, Boca Raton.
- [7] Stine, W.B. and Diver, R.E. 1994. A Compendium of Solar Dish Stirling Technology, Report SAND94-7026, Sandia National Laboratories, Albuquerque, NM 87185.
- [8] Walker, G. 1973. The Stirling engine, *Sci. Am.* 229(2):80-87.
- [9] Walker, G. 1980. *Stirling engines*, Clarendon Press, Oxford.
- [10] West, C.D. 1986. *Principles and Applications of Stirling Engines*, Van Nostrand Reinhold, New York